

長崎大学 正員 山崎山義

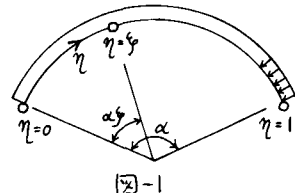
1. まえがき 3ヒンジアーチの中間ヒンジの意義は、座屈特性の解析にさいして、微小変形問題の場合とはかなり異なるものとなる。中間ヒンジ奥におけるたわみ角の不連続性と、それに起因する軸力およびせん断力の不連続性とか、変形状態における中間ヒンジ奥の力の平衡条件をアーチの他の部分における平衡条件とは異なるものとするからである。この研究は任意位置に中間ヒンジをもつ3脚アーチの円形等分布荷重に対する、りゆゆる座屈曲げと解釈との特性を明らかにするものである。

2. 座屈方程式 $\eta = \eta_0$ なる任意点に中間ヒンジをもつ3ヒンジ

(2)3脚アーチの座屈は次の連立微分方程式で表わされる。

$$\left. \begin{aligned} \left(\frac{d^4 u}{d\eta^4} + k^2 \frac{d^2 u}{d\eta^2} + d^2 a^2 u \right) + d \left[\frac{d^2 w}{d\eta^2} + (k^2 - a^2) \frac{dw}{d\eta} \right] &= \frac{PL^3}{EI} \\ d \left(\frac{d^3 u}{d\eta^3} - a^2 \frac{du}{d\eta} \right) + (a^2 + a^2) \frac{d^2 w}{d\eta^2} &= 0 \end{aligned} \right\} (\eta + \varphi) \quad (1)$$

ただし(2)3脚アーチの法線および接線方向のたわみを $u(\eta), w(\eta)$ とい。



アーチ部材長、断面積、断面2次モーメントを L, A, I とするとき、 $u(\eta) = \bar{u}(\eta)/L, w(\eta) = \bar{w}(\eta)/L$ である。なお、 d ：アーチ中心角、 $a^2 = AL^2/I, k^2 = PL^3/EI$ である。

座屈方程式(1)の解は単位階段函数 $\bar{u}(\eta-\varphi)$ を用いて次の形で求められる。 $\eta = \eta_0$ は中間ヒンジ位置である。

$$u(\eta) = u_1(\eta) + u_2(\eta) \cdot \bar{u}(\eta - \varphi) \quad (2-a) \quad w(\eta) = w_1(\eta) + w_2(\eta) \cdot \bar{u}(\eta - \varphi) \quad (2-b)$$

たわみ角 $\theta(\eta)$ 、曲げモーメント $M(\eta)$ 、軸力 $N(\eta)$ 、せん断力 $Q(\eta)$ も同様に

$$\theta(\eta) = \theta_1(\eta) + \theta_2(\eta) \cdot \bar{u}(\eta - \varphi) \quad (2-c) \quad M(\eta) = M_1(\eta) + M_2(\eta) \cdot \bar{u}(\eta - \varphi) \quad (2-d) \quad N(\eta) = N_1(\eta) + N_2(\eta) \cdot \bar{u}(\eta - \varphi) \quad (2-e) \quad Q(\eta) = Q_1(\eta) + Q_2(\eta) \cdot \bar{u}(\eta - \varphi) \quad (2-f)$$

境界条件は $u_1(0) = 0$ (3-a), $w_1(0) = 0$ (3-a), $M_1(0) = 0$ (3-c), $u_1(1) + u_2(1) = 0$ (3-d), $w_1(1) + w_2(1) = 0$ (3-e), $M_1(1) + M_2(1) = 0$ (3-f)

中間ヒンジ奥において $u_2(0) = 0$ (4-a), $w_2(0) = 0$ (4-a), $M_1(0) = 0$ (4-c), $M_2(0) = 0$ (4-d)

$$M(\eta)[1 - \cos \theta_2(\varphi)] + N_2(\eta) + Q_2(\eta) \cdot \sin \theta_2(\varphi) = 0 \quad (4-e), \quad Q_1(\eta)[1 - \cos \theta_2(\varphi)] + Q_2(\eta) - N_1(\eta) \cdot \sin \theta_2(\varphi) = 0 \quad (4-f)$$

3. 座屈方程式の解 座屈方程式(1)の解は(3-a)~(3-c), (4-a)~(4-f)を考慮して

$$u(\eta) = u_{10}(\eta) \cdot \theta_1(0) + u_{1\eta}(\eta) \cdot N_1(0) + u_{1\theta}(\eta) \cdot \left[\bar{U}_{10}(\eta) \cdot \theta_1(0) + \bar{U}_{1\eta}(\eta) \cdot N_1(0) + \bar{U}_{1\theta}(\eta) \cdot Q_1(\eta) - u_{14}(\eta) \right] \frac{PL^3}{EI} \quad (5-a)$$

$$w(\eta) = w_{10}(\eta) \cdot \theta_1(0) + w_{1\eta}(\eta) \cdot N_1(0) + w_{1\theta}(\eta) \cdot \left[\bar{W}_{10}(\eta) \cdot \theta_1(0) + \bar{W}_{1\eta}(\eta) \cdot N_1(0) + \bar{W}_{1\theta}(\eta) \cdot Q_1(\eta) - w_{14}(\eta) \right] \frac{PL^3}{EI} \quad (5-b)$$

$$M(\eta) = M_{10}(\eta) \cdot \theta_1(0) + M_{1\eta}(\eta) \cdot Q_1(\eta) + [M_{10}(\eta) \cdot N_1(0) + M_{1\eta}(\eta) \cdot Q_2(\eta)] \bar{u}(\eta - \varphi) - M_{14}(\eta) \frac{PL^3}{EI} \quad (5-c)$$

$$N(\eta) = N_{10}(\eta) \cdot \theta_1(0) + N_{1\eta}(\eta) \cdot Q_1(\eta) + [N_{10}(\eta) \cdot N_1(0) + N_{1\eta}(\eta) \cdot Q_2(\eta)] \bar{u}(\eta - \varphi) - N_{14}(\eta) \frac{PL^3}{EI} \quad (5-d)$$

$$Q(\eta) = Q_{10}(\eta) \cdot \theta_1(0) + Q_{1\eta}(\eta) \cdot Q_1(\eta) + [Q_{10}(\eta) \cdot N_1(0) + Q_{1\eta}(\eta) \cdot Q_2(\eta)] \bar{u}(\eta - \varphi) - Q_{14}(\eta) \frac{PL^3}{EI} \quad (5-e)$$

境界条件(3-a)~(3-f)と(4-a)とより $\theta_1(0), N_1(0), Q_1(0), Q_2(0)$ を定めれば

$$\theta_1(0) = [a_0 + a_1 \theta_2(\varphi) + a_2 N_2(\varphi)]/D \quad (6-a), \quad N_1(0) = [c_0 + c_1 \theta_2(\varphi) + c_2 N_2(\varphi)]/D \quad (6-b), \quad Q_1(0) = [C_0 + C_1 \theta_2(\varphi) + C_2 N_2(\varphi)]/D \quad (6-c)$$

$$Q_2(0) = [d_0 + d_1 \theta_2(\varphi) + d_2 N_2(\varphi)]/D \quad (6-d), \quad D = \sin \frac{\alpha}{2} \left[2\beta^3 (a^2 + k^2) \sin \frac{\alpha}{2} \cos \frac{\beta(1-\varphi)}{2} - 2\alpha \beta^2 (a^2 + k^2) \sin \frac{\beta}{2} \sin \frac{\alpha}{2} \cos \frac{\alpha(1-\varphi)}{2} \right. \\ \left. - 2\alpha^3 (\beta^2 + a^2) \cos \frac{\alpha}{2} \sin \frac{\beta}{2} - \alpha \beta a^2 k^2 \cos \frac{\alpha}{2} \cos \frac{\beta(1-\varphi)}{2} \right] \quad (6-e) \quad D = D^* \quad \beta^2 = \alpha^2 + k^2$$

また、条件(4-e), (4-f)より $\theta_2(\varphi)$ および $N_2(\varphi)$ を求める式が得られる。

$$D \cdot [d_0 + d_1 \cdot \theta_2(\varphi)] - [g_0 + g_1 \cdot \theta_2(\varphi)] \sin \theta_2(\varphi) - [h_0 + h_1 \cdot \theta_2(\varphi)] \cdot [1 - \cos \theta_2(\varphi)] = 0 \quad (7-a)$$

$$N_2(\varphi) = \left\{ [C_0 + C_1 \cdot \theta_2(\varphi)] \sin \theta_2(\varphi) - [c_0 + c_1 \cdot \theta_2(\varphi)] [1 - \cos \theta_2(\varphi)] \right\} / \left\{ D - C_2 \sin \theta_2(\varphi) + C_2 [1 - \cos \theta_2(\varphi)] \right\} \quad (7-b)$$

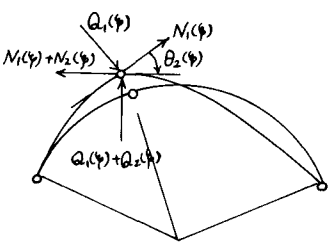
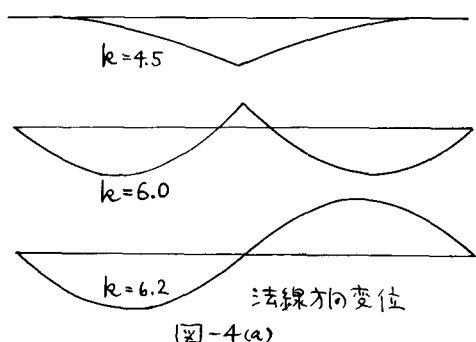


図-2

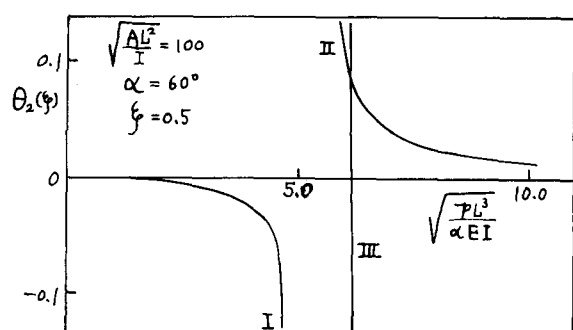
4. 解析結果 3ヒンジ円弧アーチに生じる変形の大きさは中间ヒンジ奥の相対たわみ角 $\theta_2(\eta)$ によって端的に知ることができます。変形と荷重とは比例せず、 $\theta_2(\eta)$ は荷重の増加とともにともなく比例以上に増大し、座屈荷重が無限大となる。したがって、 $\theta_2(\eta)$ と荷重との関係から座屈荷重を知ることができます。また式(6)から明らかのように $D \rightarrow 0$ のとき $\theta_2(0), N(0), Q_1(0), Q_2(0) \rightarrow \infty$ となり、このとき t 3ヒンジアーチに大変形が生じる。したがって $D=0$ もまた座屈条件である。

図-3(a),(e)は細長比 $a=100$ 、中心角 $\alpha=60^\circ$ の3ヒンジアーチの相対たわみ角 $\theta_2(\eta)$ と無次元荷重 $k = (\frac{PL^3}{\alpha EI})^{\frac{1}{2}}$ との関係を示す。(a),(e)はそれとれども中间ヒンジ位置 $\eta = 0.5, 0.4$ に対応する。これによれば、 $\theta_2(\eta)$ と荷重 k とは比例せず、ある k 値に対して $\theta_2(\eta)$ は不連続となり、不連続点の前後で $\pm\infty$ となる。このときの k が座屈荷重を与える。(a)図の直線Ⅲと横軸との交点の k は座屈条件式 $D=0$ の根である。(e)図は中间ヒンジ位置 $\eta = 0.5$ なる斜柱型3ヒンジアーチの $|\theta_2(\eta)| = 0.1$ における法線方向たわみ形を表す。 $k = 4.5$ [I] のたわみは負の曲げモーメントによる上に凸の変形、 $k = 6.0$ [II] のたわみは正の曲げモーメントによる下に凸の変形を表す。 $k = 6.2$ [III] のたわみは中间ヒンジとはさんで互に逆の曲げモーメントの生じる逆対称の変形をあらわす。

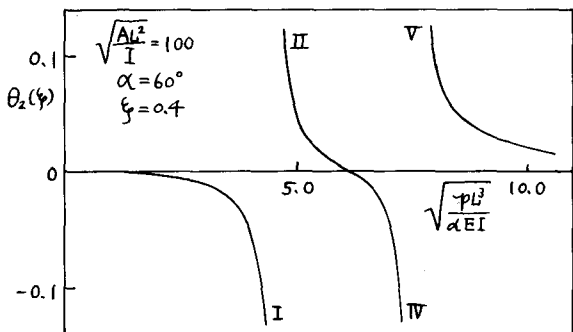
図-4(e)は $\eta = 0.4$ なる非対称構造をもつ3ヒンジアーチについて、荷重の変化に対するたわみ形状の変化の様子を示す。不連続点の前後でたわみ形状が全く異なることを知る。このことでも座屈モードの相違につながる。



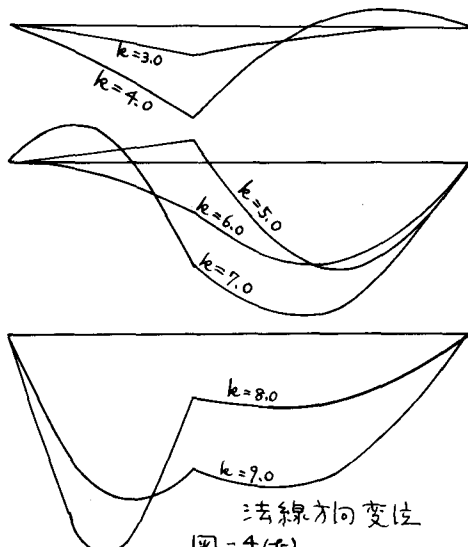
(図-4(a))



(図-3(a))



(図-3(e))



(図-4(e))

(参考文献) 弾性安定要覧、長柱研究委員会、コロナ社、昭42年